

Амплитуда колебаний будет уменьшаться с глубиной. Максимальная амплитуда соответствует поверхности тела ( $r/R = 1$ ), но она меньше амплитуды колебаний среды на величину  $\sqrt{N_i N_{-i}}$ . Тепловой поток в стенку

$$\begin{aligned} q(\tau) = & \frac{1}{2} \lambda h a_0 \frac{\sqrt{iP}}{R} \frac{K_1(\sqrt{iP}) e^{iPF}}{\sqrt{iP} K_1(\sqrt{iP}) + h K_0(\sqrt{iP})} + \\ & + \frac{1}{2} \lambda h a_0 \frac{\sqrt{-iP}}{R} \frac{K_1(\sqrt{-iP}) e^{-iPF}}{\sqrt{-iP} K_1(\sqrt{-iP}) + h K_0(\sqrt{-iP})} + \\ & + \frac{2\lambda}{\pi R} (b - t_0) \left\{ \operatorname{arc} \operatorname{tg} \left[ \frac{2}{\pi h} \left( h \ln \frac{\mu_0}{2} + h\gamma - 1 \right) + \frac{\pi}{2} \right] - \frac{2h^2\lambda}{\pi R} \int_{\mu_0}^{\infty} \varphi(\mu) \Phi(\mu) e^{-\mu^2 F} \frac{d\mu}{\mu} \right\} \quad (5) \end{aligned}$$

Здесь  $\Phi(\mu)$  определяется формулой (3). Для квазистационарного состояния два последние члена в решении (5) можно отбросить. Для нахождения общего количества тепла выражения (5) нужно проинтегрировать по промежутку времени. Для квазистационарного состояния формула (5) может быть преобразована аналогично выражению (4).

Поступила 3 II 1962

## НЕСТАЦИОНАРНЫЙ ТЕПЛООБМЕН ИЗЛУЧЕНИЕМ ДВУХ НЕПРОЗРАЧНЫХ СЕРЫХ ТЕЛ

*Н. А. Рубцов (Новосибирск)*

Рассматривается нестационарное лучистое взаимодействие двух полубесконечных тел. Даются приближенные выражения для результирующей плотности излучения. Для исследования используется решение А. Н. Тихонова [1] об остывании полубесконечного тела при излучении в окружающее пространство при постоянной температуре.

Задача о лучистом взаимодействии (фиг. 1) двух полубесконечных тел 1 и 2 приводится к уравнениям теплопроводности с граничными и начальными условиями

$$\begin{aligned} \frac{\partial^2 T_1(x, \tau)}{\partial x^2} &= \frac{1}{a_1} \frac{\partial T_1(x, \tau)}{\partial \tau} \quad (0 < x < \infty) \\ \frac{\partial^2 T_2(x, \tau)}{\partial x^2} &= \frac{1}{a_2} \frac{\partial T_2(x, \tau)}{\partial \tau} \quad (0 > x > -\infty) \end{aligned} \quad \left( \alpha = \frac{\lambda}{c\rho} \right) \quad (1)$$

$$\lambda_1 \frac{\partial T_1}{\partial x}(0, \tau) = E_1(0, \tau) = \sigma_{12} [T_2^4(0, \tau) - T_1^4(0, \tau)] \quad (\sigma_{12} = \sigma_0 A_1 A_2 \Phi_{12})$$

$$\lambda_2 \frac{\partial T_2}{\partial y}(0, \tau) = E_2(0, \tau) = \sigma_{21} [T_1^4(0, \tau) - T_2^4(0, \tau)] \quad (\sigma_{21} = \sigma_0 A_1 A_2 \Phi_{21}) \quad (2)$$

$$T_1(x, 0) = T_1, \quad T_2(x, 0) = T_2 \quad (3)$$

Здесь  $a_1$  и  $a_2$  — коэффициенты температуропроводности;  $A_1$ ,  $A_2$  — поглощательные способности поверхностей тел;  $\Phi_{12}$ ,  $\Phi_{21}$  — средние разрешающие угловые коэффициенты излучения между телами;  $\sigma_0 = 4.9 \cdot 10^{-8} \text{ ккал}/\text{м}^2 \text{ час} \cdot \text{град}^4$  — постоянная излучения абсолютно черного тела;  $E_1(0, \tau)$  и  $E_2(0, \tau)$  — результирующие плотности излучения по поверхностям тел 1 и 2 в момент времени  $\tau$ . Применительно к рассматриваемой излучающей системе, составленной из двух бесконечно протяженных параллельных тел, имеют место соотношения

$$\Phi_{12} = \Phi_{21} = \frac{1}{1/A_1 + 1/A_2 - 1}, \quad \sigma_{12} = \sigma_{21}$$

На фиг. 1 промежуток между телами 1 и 2 изображен условно с тем, чтобы показать, что нестационарное взаимодействие осуществляется по законам лучистого теплообмена между телами, разделенными диатермической, прозрачной средой. В рассмотренной выше постановке задачи подразумевается схема из двух полубесконечных тел, находящихся между собой как бы в «несовершенном» тепловом контакте. Термическое сопротивление такого контакта определяется законами лучистого теплообмена.

Учитывая симметричность процесса лучистого теплообмена в рассматриваемой задаче, ниже рассматривается решение только для одного тела (тело 1).

Известно [1], что уравнению типа (1) удовлетворяет интеграл

$$T(x, \tau) = \int_0^\tau \frac{1}{V\tau - \xi} \exp \frac{-x^2}{4a(\tau - \xi)} \psi(\xi) d\xi \quad (4)$$

Здесь  $\psi(\xi)$  — непрерывная функция времени, определяемая из граничных условий. Определяя  $\partial T / \partial x$  из (4), при этом используя подстановки

$$\tau - \xi = \frac{x^2}{4a\alpha^2}, \quad d\xi = \frac{x^2}{2a\alpha^3} dx$$

и применяя граничные условия, найдем

$$\psi(\tau) = v(\tau) \frac{a}{V\pi a} \quad \left( v(\tau) = \left( \frac{\partial T}{\partial x} \right)_{x=0} \right)$$

Окончательное решение уравнения типа (1), как известно, имеет вид

$$T(x, \tau) = T + \frac{1}{V\pi a} \int_0^\tau \frac{a}{V\tau - \xi} \exp \frac{-x^2}{4a(\tau - \xi)} v(\xi) d\xi \quad (5)$$

Решение задачи будет реализованным, если известно, по какому закону изменяется  $v(\tau) = \lambda^{-1} E(\tau)$ , т. е. если известно изменение результирующей плотности излучения на границе тела ( $x = 0$ ) во времени. Температуры поверхностей лучеобменывающихся тел определяются следующими выражениями:

$$T_i(0, \tau) = T_i + \frac{\sqrt{a_i}}{\lambda_i V\pi} \int_0^\tau \frac{E_i(\xi)}{\sqrt{V\tau - \xi}} d\xi \quad (i = 1, 2) \quad (6)$$

Здесь  $E_1(\tau)$  и  $E_2(\tau)$  согласно (2) и  $E_1(\tau) = -E_2(\tau)$ .

На этом основании искомое значение результирующей плотности излучения по поверхностям лучеобменывающихся тел определяется следующим соотношением:

$$E_1(\tau) = -E_2(\tau) = \sigma_{12} \left\{ \left[ T_2 - \frac{\sqrt{a_2}}{\lambda_2 V\pi} \int_0^\tau \frac{E_1(\xi)}{\sqrt{V\tau - \xi}} d\xi \right]^4 - \left[ T_1 + \frac{\sqrt{a_1}}{\lambda_1 V\pi} \int_0^\tau \frac{E_1(\xi)}{\sqrt{V\tau - \xi}} d\xi \right]^4 \right\} \quad (7)$$

Представим полученное выражение в виде полуразмерной аноморфозы

$$\begin{aligned} \varphi(\tau) &= \delta_2 [1 - \eta_2 \zeta(\tau)]^4 - \delta_1 [1 + \eta_1 \zeta(\tau)]^4 \\ \zeta(\tau) &= \int_0^\tau \frac{\varphi(\xi)}{V\tau - \xi} d\xi \end{aligned} \quad (8)$$

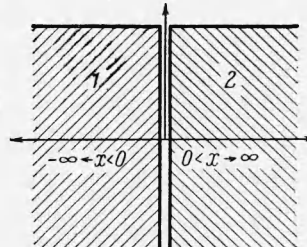
Здесь

$$\delta_1 = \frac{T_1^4}{T_2^4 - T_1^4}, \quad \delta_2 = \frac{T_2^4}{T_2^4 - T_1^4}$$

$$\eta_1 = \frac{\sqrt{a_1}}{\lambda_1 T_1} \frac{1}{V\pi} E_1(\tau = 0)$$

$$\eta_2 = \frac{\sqrt{a_2}}{\lambda_2 T_2} \frac{1}{V\pi} E_1(\tau = 0)$$

$$E_1(\tau = 0) = \sigma_{12}(T_2^4 - T_1^4), \quad \varphi(\tau) = \frac{E_1(\tau)}{E_1(\tau = 0)}$$



Фиг. 1. Схема из двух полу бесконечных тел, находящихся между собой в нестационарном лучистом взаимодействии

Таким образом, процесс лучистого взаимодействия двух полуограниченных тел, выражаящийся в температурной стабилизации этой замкнутой системы, описывается уравнением (8) — сложным нелинейным интегральным уравнением Вольтерра.

Следуя работе [2], решаем (8) методом последовательных приближений. Для нулевого приближения принимаем  $\varphi_0(\tau) = 0$ . Для первого приближения получим

$$\varphi_1(\tau) = \delta_2 - \delta_1 = 1$$

Для второго приближения найдем

$$\varphi_2(\tau) = \delta_2 [1 - \eta_2 \zeta_1(\tau)]^4 - \delta_1 [1 + \eta_1 \zeta_1(\tau)]^4, \quad \zeta_1(\tau) = \int_0^\tau \frac{d\xi}{V\tau - \xi}$$

Здесь интеграл  $\zeta(\tau)$  может быть сведен к Эйлерову интегралу первого рода вида

$$B(p, q) = \int_0^1 x^{p-1} (1-x)^{q-1} dx = \frac{\Gamma(p) \Gamma(q)}{\Gamma(p+q)} \quad (\Gamma(z) = \int_0^\infty e^{-t} t^{z-1} dt)$$

Вводя подстановку  $\xi = \beta\tau$ , получаем

$$\zeta_1(\tau) = \int_0^1 \frac{\tau d\beta}{V\tau - \tau\beta} = \tau^{1/2} \int_0^1 (1-\beta)^{-1/2} d\beta = \tau^{1/2} \frac{\Gamma(1)\Gamma(1/2)}{\Gamma(3/2)} = 2\tau^{1/2}$$

Таким образом, второе приближение

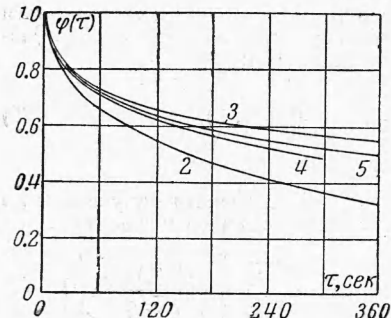
$$\varphi_2(\tau) = \delta_2 (1 - 2\eta_2 \tau^{1/2})^4 - \delta_1 (1 + 2\eta_1 \tau^{1/2})^4 \quad (9)$$

или

$$\begin{aligned} \varphi_2(\tau) = 1 - 8(\delta_2 \eta_2 + \delta_1 \eta_1) \tau^{1/2} + 24(\delta_2^2 \eta_2 - \delta_1^2 \eta_1) \tau - \\ - 32(\delta_2^3 \eta_2 + \delta_1^3 \eta_1) \tau^{3/2} + 16(\delta_2^4 \eta_2 - \delta_1^4 \eta_1) \tau^2 \end{aligned} \quad (10)$$

Аналогичным образом, используя  $\varphi_2(\tau)$ , получено третье приближение  $\varphi_3(\tau)$ , а затем и четвертое  $\varphi_4(\tau)$ .

Указанные приближения представляют собой сложные полиномы относительно  $\tau$ , коэффициенты при которых сами будут



Фиг. 2. Зависимость безразмерной плотности результирующего излучения  $\varphi(\tau)$  между двумя полубесконечными телами от времени  $\tau$ : 2 — второе приближение, 3 — третье приближение, 4 — четвертое приближение, 5 — по формуле (24)

Как видно из графического анализа, решение для  $\varphi(\tau)$  может быть ограничено четвертым, пятым приближением (в зависимости от значения  $\tau$ ). Полученное решение для  $\varphi(\tau)$  сопряжено с громоздкими вычислениями.

Ниже рассматривается приближенное решение нелинейного интегрального уравнения (8) при помощи общеизвестной линеаризации его.

В выражении (8) функционал вида  $\zeta(\tau, \varphi)$  пропорционален значениям температуры на поверхности тела. Это позволяет, оперируя с ним, как с определенным физическим понятием, представить его значение в четвертой степени в следующем виде:

$$\zeta^4 = z^4 \left(1 + \frac{\zeta - z}{z}\right)^4 = z^4 \left[1 + \frac{4(\zeta - z)}{z} + \frac{6(\zeta - z)^2}{z^2} + \frac{4(\zeta - z)^3}{z^3} + \frac{(\zeta - z)^4}{z^4}\right]$$

Ограничивааясь первыми двумя членами данного полинома, получаем приближенно

$$\zeta^4 \approx 4\zeta z^3 - 3z^4 \quad (11)$$

Смысл линеаризации заключается в замене некоторого участка параболы участком прямой. Чем ближе осредненные значения  $\langle\zeta\rangle = z$  к истинным  $\zeta$ , тем строже линеаризация. В пределе при  $z = \zeta$  приближенное соотношение (11) оказывается строгим. Значения  $z$  определяются в соответствии с его физическим смыслом так:

$$z(\tau, \varphi) = 1 - \eta \int_0^\tau \frac{\Phi(\xi)}{V\tau - \xi} d\xi = 1 - \eta \Phi(\tau) \int_0^\tau \frac{d\xi}{V\tau - \xi} = 1 - 2\eta \Phi(\tau) V\bar{\tau} \quad (12)$$

Здесь  $\Phi(\tau)$  — некоторое близкое к  $\varphi(\tau)$  значение безразмерного результирующего потока, величина которого в момент времени  $\tau$  ориентировочно известна.

Осуществляя подстановку (12) в (11) и (8), имеем

$$\Phi(\tau) = \delta_2 \{4 [1 - \eta_2 \zeta(\tau)] z_2^3 - 3z_2^4\} - \delta_1 \{4 [1 + \eta_1 \zeta(\tau)] z_1^3 - 3z_1^4\} \quad (13)$$

$$z_1 = 1 + 2\eta_1 \Phi(\tau) \sqrt{\tau}, \quad z_2 = 1 - 2\eta_2 \Phi(\tau) \sqrt{\tau}$$

ИЛР

$$\Phi(\tau) = 4(\delta_2 z_2^3 - \delta_1 z_1^3) - 4(\delta_2 \eta_2 z_2^3 + \delta_1 \eta_1 z_1^3) \zeta(\tau) - 3(\delta_2 z_2^4 - \delta_1 z_1^4) \quad (14)$$

Представим (14) в форме линейного интегрального уравнения Вольтерра второго рода [3]

$$\varphi(\tau) - (-\kappa(\tau, \Phi)) \int_0^\tau K(\tau, \xi) \varphi(\xi) d\xi = f(\tau, \Phi) \quad \left( K(\tau, \xi) = \frac{1}{V\tau - \xi} \right) \quad (15)$$

где

$$\kappa(\tau, \Phi) = 4(\delta_2\eta_2z_2^3 + \delta_1\eta_1z_1^3), \quad f(\tau, \Phi) = 4(\delta_2z_2^3 - \delta_1z_1^3) - 3(\delta_2z_2^4 - \delta_1z_1^4)$$

Решение линейного интегрального уравнения (15), полученное методом последовательных приближений Пикара, имеет следующий вид: (16)

$$\varphi(\tau) = f(\tau, \Phi) - (-\kappa(\tau, \Phi)) \int_0^\tau H(\tau, \xi; \kappa) f(\xi, \Phi) d\xi \quad \left( H = - \sum_{n=0}^{\infty} (-\kappa)^n K_{n+1}(\tau, \xi) \right)$$

Здесь  $H$  — резольвента интегрального уравнения (15). Итерации ядра исходного уравнения удовлетворяют интегральному соотношению

$$K_{n+1}(\tau, \xi) = \int_0^\tau K_1(\tau, \theta) K_n(\theta, \xi) d\theta \quad (17)$$

В связи с этим

$$K_2(\tau, \xi) = \int_{\xi}^{\tau} K_1(\tau, \theta) K_1(\theta, \xi) d\theta = \int_{\xi}^{\tau} \frac{1}{(\tau - \theta)^a} \frac{1}{(\theta - \xi)^a} d\theta = \int_{\xi}^{\tau} \frac{(\theta - \xi)^{-a}}{(\tau - \theta)^a} d\theta \quad \left( a = \frac{1}{2} \right)$$

Вводя подстановку  $(\theta - \xi) / (\tau - \xi) = x$ , имеем

$$K_2(\tau, \xi) = \int_0^1 \frac{x^{-a}(\tau - \xi)^{-a}}{(1-x)^a(\tau - \xi)^a} (\tau - \xi) dx = \frac{\Gamma^2(1-a)}{\Gamma(2(1-a))} (\tau - \xi)^{2(1-a)-1}$$

по аналогии

$$K_3(\tau, \xi) = \frac{\Gamma^3(1-a)}{\Gamma(3(1-a))} (\tau - \xi)^{3(1-a)-1}$$

$$K_{n+1}(\tau, \xi) = \frac{\Gamma^{n+1}(1-a)}{\Gamma((n+1)(1-a))} (\tau - \xi)^{(n+1)(1-a)-1}$$

Подставляя  $a = \frac{1}{2}$ , получаем

$$K_{n+1}(\tau, \xi) = \frac{\Gamma^{n+1}(1/2)}{\Gamma(1/2(n+1))} (\tau - \xi)^{1/2(n+1)-1} \quad (18)$$

где  $\Gamma$  — гамма-функция или Эйлеров интеграл второго рода. Таким образом, согласно (16)

$$H(\tau, \xi; \kappa) = - \sum_{n=0}^{\infty} (-\kappa)^n \frac{\Gamma^{n+1}(1/2)}{\Gamma(1/2(n+1))} (\tau - \xi) \quad (19)$$

Сходимость подобных рядов достаточно подробно исследуется в работах [1, 2]. Для получения расчетного выражения нужно подставить (19) в (16), провести

$$t(\tau, \Phi) = 1 - 24\Phi^2(\delta_0 n_0^2 - \delta_1 n_1^2) \tau + 64\Phi^3(\delta_0 n_0^3 + \delta_1 n_1^3) \tau^3 - 48\Phi^4(\delta_0 n_0^4 - \delta_1 n_1^4) \tau^2 \quad (20)$$

В результате получим

$$\begin{aligned} & \varphi(\tau) = f(\tau, \Phi) - \\ & - \kappa(\tau, \Phi) \sum_{n=1}^{\infty} (-\kappa)^{n-1} \frac{\Gamma^n(1/2)}{\Gamma(1+1/2n)} \tau^{1/2n} \left[ 1 - 24 \frac{\Gamma(2)\Gamma(1+1/2n)}{\Gamma(2+1/2n)} \Phi^2 (\delta_2 \eta_2^2 - \delta_1^2 \eta_1^2) \tau + \right. \\ & \left. + 64 \frac{\Gamma(5/2)\Gamma(1+1/2n)}{\Gamma(5/2+1/2n)} \Phi^3 (\delta_2 \eta_2^3 + \delta_1 \eta_1^3) \tau^{3/2} - 48 \frac{\Gamma(3)\Gamma(1+1/2n)}{\Gamma(3+1/2n)} \Phi^4 (\delta_2 \eta_2^4 - \delta_1 \eta_1^4) \tau^2 \right] \quad (21) \end{aligned}$$

Для небольших значений  $\tau$  можно в выражении (20) ограничиться двумя членами, т. е. линейным представлением относительно  $\tau$ , при этом в квадратных скобках выражения (21) под знаком суммы сохраняется только два первых члена, и если затем, ограничиться в ряде членами с  $\tau^2$ , то получим

$$\begin{aligned} \varphi(\tau) = & f(\tau, \Phi) - \kappa(\tau, \Phi) \{2\tau^{1/2} - \pi\kappa(\tau, \Phi)\tau + [4.2\kappa(\tau, \Phi) - \\ & - 32(\delta_2\eta_2^2 - \delta_1\eta_1^2)\Phi^2]\tau^{3/2} + [1/2\kappa^3(\tau, \Phi)\pi 37.7(\delta_2\eta_2^2 - \delta_1\eta_1^2)\Phi^2\kappa(\tau, \Phi)]\tau^2\} \end{aligned} \quad (22)$$

Ограничивааясь членами с  $\tau^{3/2}$ , получаем следующее приближение: (23)

$$\varphi(\tau) = f(\tau, \Phi) - \kappa(\tau, \Phi) \left\{ 2\tau^{1/2} - \pi\kappa\tau + \left[ \kappa^2 \frac{\Gamma(1/2)}{\Gamma(5/2)} - 24 \frac{\Gamma(1/2)}{\Gamma(5/2)} (\delta_2\eta_2^2 - \delta_1\eta_1^2)\Phi^2 \right] \tau^{3/2} \right\} \quad (24)$$

или

$$\varphi(\tau) = f(\tau, \Phi) - \kappa(\tau, \Phi) \{2\tau^{1/2} - \pi\kappa(\tau, \Phi)\tau + [4.2\kappa^2(\tau, \Phi) - 32(\delta_2\eta_2^2 - \delta_1\eta_1^2)\Phi^2]\tau^{3/2}\}$$

Ряд (21) применительно к малым значениям  $\tau$  обладает ярко выраженным свойством быстрой сходимости; поэтому приближенные итерационные формулы (22) и (23) отличаются достаточной точностью при ведении итерационных расчетов. Практическое их использование сводится к построению зависимостей  $\varphi(\tau)$  в функции  $\tau$ . В качестве первого грубого приближения используется значение  $\varphi(0) = 1$ . Последующие приближения определяются итерационными формулами (22) и (23). Эти формулы могут быть использованы также для вычисления  $\varphi(\tau)$ , а следовательно, и результирующей плотности излучения  $E_1(\tau) = -E_2(\tau)$  и в произвольный момент времени  $\tau$ . В качестве первого грубого приближения можно рекомендовать следующее выражение:

$$\varphi(\tau) \approx 1 - 2V\tau \left( 1 - \frac{1}{2}\pi V\tau \right) \quad (25)$$

полученное из (24) в предположении, что  $f(\tau, \Phi) = \kappa(\tau, \Phi) = 1$ , а последующие члены при  $\tau^{3/2}$  пренебрежимо малы. Указанное грубое приближение, будучи подставленным в (24), дает удовлетворительное решение уже в первом вычислении (последующие приближения оказываются мало отличающимися).

Используя приближенное выражение (24), на фиг. 2 представлена зависимость  $\varphi(\tau)$ , построенная применительно к числовому примеру лучистого нестационарного взаимодействия двух полуграниценных тел, рассмотренному ранее. Анализ этой зависимости указывает на то, что значения  $\varphi(\tau)$ , вычисленные по (24), практически совпадают с пятым приближением, полученным на основе строгого численного решения, приведенного выше. Из фиг. 2 следует, что зависимость  $\varphi(\tau)$  занимает место пятого приближения, которое на графике отсутствует.

Таким образом, указанная линеаризация позволяет получить сравнительно простое итерационное расчетное выражение, отличающееся достаточной точностью (точность расчетов не выходит за пределы  $\sim 1-2\%$ ). По вопросу о точности подобного подхода линеаризации необходимо отметить следующее. Расчетные выражения (22) и (23) будут итерационными и в этом смысле они могут оказаться строгими. Однако, принимая во внимание то, что в них учтены лишь первые члены сходящегося ряда (21), следует отметить их приближенный характер. В пределах небольших значений  $\tau$  эти выражения могут оказаться, как это было отмечено выше, достаточно точными.

Вопросы оценок значений  $\tau$ , для которых приближенные формулы (22) и (23) остаются в силе, здесь не рассматриваются. Применительно к реальным конечным телам это время определяется, по-видимому, моментом, когда в теплопередаче начинает сказываться влияние удаленных стенок, ранее не участвовавших в теплообмене.

В заключение отметим, что расчеты температурных полей в исследуемых лучеобменивающихся твердых телах после вычисления  $\varphi(\tau)$  и соответственно  $E_1(\tau) = -E_2(\tau)$  не представляют принципиальных затруднений. Для этого найденные значения результирующих лучистых потоков по поверхностям лучеобменивающихся тел подставляются соответственно в (6), при определении температур поверхностей тел или в (5) — в случае более детального исследования температурных полей. Решения в обоих случаях сводятся к квадратурам.

Поступила 4 VIII 1962

#### ЛИТЕРАТУРА

1. Тихонов А. Н. Об остывании тел при лучеиспускании, следующем закону Стефана—Больцмана. Изв. АН СССР, сер. геогр. и геофиз., 1937, № 3.
2. Тихонов А. Н., О функциональных уравнениях типа Вольтерра и их применениях к некоторым задачам математической физики. Бюлл. МГУ, секция А, т. I. Математика и механика, 1938, вып. 8.
3. Трикоми Ф. Интегральные уравнения. ИЛ, 1960.